

# TP projet : Optimisation numérique

ATTACHE William

semestre 5, 2017

# Table des matières

<b>1</b>	<b>Introduction</b>	<b>2</b>
<b>2</b>	<b>Problèmes d'optimisation sans contrainte : l'algorithme de Newton</b>	<b>3</b>
2.1	Algorithme de Newton local . . . . .	3
2.2	Les critères d'arrêt . . . . .	4
2.3	Tests . . . . .	4
2.3.1	Tests sur $f_1$ . . . . .	5
2.3.2	Tests sur $f_2$ . . . . .	5
2.3.3	Interprétation : . . . . .	6
<b>3</b>	<b>La méthode de régions de confiance : Newton devient robuste</b>	<b>8</b>
3.1	Cauchy : chercher le minimum de $f$ dans la direction opposée au gradient . . . . .	8
3.1.1	Tests de l'algorithme trouvant le point de Cauchy . . . . .	11
3.1.2	Newton et la méthode des régions de confiance . . . . .	11
3.2	More-Sorensen : une convergence plus rapide qu'avec Cauchy . . . . .	12
3.2.1	Newton pour les équations non linéaires . . . . .	12
3.2.2	Algorithme de More-Sorensen . . . . .	13
<b>4</b>	<b>Optimisation sous contraintes : la méthode du Lagrangien augmenté</b>	<b>15</b>

# Chapitre 1

## Introduction

Le but de ce projet est d'étudier la résolution de problèmes d'optimisation avec et sans contrainte. En première partie, on s'intéressera aux problèmes de minimisation sans contrainte, d'abord grâce à l'algorithme de Newton puis grâce à sa globalisation par la méthode des régions de confiance. La résolution des sous-problèmes dans l'algorithme des régions de confiance sera faite soit par l'intermédiaire du point de Cauchy, soit par le biais de l'algorithme de Moré-Sorensen. Dans un deuxième temps, on s'intéressera à la méthode du Lagrangien augmenté, pour résoudre des problèmes d'optimisation avec contraintes.

### Remarques préliminaires :

- dans les contrats des fonctions Matlab, on parlera de "fonction gradient" et "fonction hessienne" pour parler respectivement de  $\nabla f : \mathbb{R}^n \mapsto \mathcal{L}(\mathbb{R}, \mathbb{R})$  et  $Hf : \mathbb{R}^n \mapsto \mathcal{L}(\mathbb{R}^n, \mathbb{R})$ .

## Chapitre 2

# Problèmes d'optimisation sans contrainte : l'algorithme de Newton

### 2.1 Algorithme de Newton local

On présente l'algorithme de manière générale.

---

**Algorithm 1** Calcul approché de  $\mathcal{S}$ 

---

**Data:**  $f, x_0$

**Result:** Algorithme de Newton

```
/* Coefficient d'approximation */
1  $\epsilon \leftarrow 10^{-9}$  /* Coefficient des garde-fou */
2  $\kappa \leftarrow 10^3$  /* Calcul de la valeur approchée */
3  $k \leftarrow 1$   $\gamma \leftarrow \gamma_1$   $\mathcal{S} \leftarrow 0$  while  $(\gamma \geq \epsilon) \wedge (k \leq \kappa)$  do
4    $\mathcal{S} \leftarrow \mathcal{S} + \gamma$   $k \leftarrow k + 1$   $\gamma \leftarrow \gamma_k$ 
5 end
```

---

Pour trouver  $d_k$ , comme on résout le système  $\nabla^2 f(x) * d_k = -\nabla f(x)$ , on n'a pas besoin de supposer  $\nabla^2 f(x)$  inversible. cet algorithme est donc efficace pour trouver une solution au problème de minimi-

sation sans contrainte au sens où l'on ne contraint pas beaucoup  $\nabla^2 f(x)$ , notamment on ne lui impose pas d'être inversible.

En revanche, la convergence de cet algorithme dépend du point de départ, ce qui constitue sa principale faiblesse. Rappelons qu'analytiquement, la condition de convergence locale de l'algorithme de Newton s'écrit :  $\epsilon > 0, \|x_0 - x^*\| \leq \epsilon \Rightarrow x_{k+1} = x_k - [\nabla^2 f(x_k)]^{-1} \nabla f(x_k)$ . Nous verrons comment pallier à ceci lorsque nous mettrons en place la méthode des régions de confiance.

## 2.2 Les critères d'arrêt

On met en place trois critères d'arrêt pour l'algorithme de Newton, qui seront utilisés dans tous les algorithmes étudiés ci-après. On note  $f$  la fonction à minimiser.

- $\|\nabla f(x_k)\| \leq tol1 * \|\nabla f(x_0) + c\|$  : grâce à ce critère, on s'arrête si les pentes changent très peu par rapport à la pente que l'on avait au point initial. On peut ainsi choisir de s'arrêter plus ou moins près du minimum, ce qui est intéressant par exemple dans un algorithme de régularisation dit "early stopping", utilisé par exemple en intelligence artificielle pour éviter le surajustement.
- `nbIterations`  $\leq$  `nbIterationsMax` : critère simple qui sert à ne pas effectuer trop d'itérations, et à détecter parfois une erreur dans l'algorithme. Ceci a été mon cas pour l'algorithme des régions de confiance. J'arrivais à 100 000 itérations sans avoir convergé, ce qui m'a laissé entrevoir une erreur. En fait, ma première itération n'était pas bien gérée.
- $\|x_k - x_{k-1}\| \leq \|x_{k-1}\|$  : ce critère permet de stopper l'algorithme si d'une itération à l'autre, on a "peu" bougé en allant de  $x_k$  à  $x_{k-1}$ .

## 2.3 Tests

On considère ici les deux fonctions vues en TD :

$$\begin{aligned}
f_1 : \quad \mathbb{R}^3 &\rightarrow \mathbb{R} \\
a \times b \times c &\mapsto 2(a+b+c-3)^2 + (a-b)^2 + (b-c)^2 \\
&\text{et} \\
f_2 : \quad \mathbb{R}^2 &\rightarrow \mathbb{R} \\
a \times b &\mapsto 100(b-a^2)^2 + (1-a)^2
\end{aligned}$$

Ces deux fonctions, polynômiales, sont de classe  $\mathcal{C}^\infty$  sur leur domaine de définition. On peut donc calculer leurs gradients et hessiennes respectives. En outre, les deux problèmes de minimisation associés admettent une solution sur le domaine de définition de leurs fonctions respectives.

### 2.3.1 Tests sur $f_1$

On test l'algorithme sur la fonction  $f_1$ , avec les deux points de départ  $\begin{pmatrix} 1 \\ 0 \\ 0 \end{pmatrix}$  et  $\begin{pmatrix} 10 \\ 3 \\ -2.2 \end{pmatrix}$ . Ces deux points assurent la convergence de l'algorithme en une seule itération.

### 2.3.2 Tests sur $f_2$

On test l'algorithme sur la fonction  $f_2$ , avec les deux points de départ  $\begin{pmatrix} -1.2 \\ 1 \end{pmatrix}$ ,  $\begin{pmatrix} 10 \\ 0 \end{pmatrix}$ , et  $\begin{pmatrix} 0 \\ \frac{1}{200} + \frac{1}{10^{12}} \end{pmatrix}$ .

Les deux premiers points donnent satisfaction, et trouve le point où  $f_2$  atteint son minimum, qui est  $\begin{pmatrix} 1 \\ 1 \end{pmatrix}$ . En revanche, le troisième point de départ ne permet pas de trouver le point où  $f_2$  atteint son minimum. On voit ici la faille principale de l'algorithme de Newton qui est que la convergence de l'algorithme dépend du point de départ choisi. L'algorithme renvoie  $\begin{pmatrix} 0 \\ 2.1683 \end{pmatrix}$  comme solution. Si

on ne connaît pas la solution au problème de minimisation en avance, on peut se douter que le point renvoyé n'est pas solution car :

- 10 itérations sont réalisées par l'algorithme avant de donner le résultat
- à chaque itération, matlab nous indique que la matrice  $\nabla^2 f(x)$  est mal conditionnée ou bien quasiment singulière.

### 2.3.3 Interprétation :

- La fonction  $f_1$  étant une forme quadratique, elle coïncide avec son développement de Taylor à l'ordre 2. L'algorithme de Newton implémenté converge donc en une seule itération pour cette fonction.

- La fonction  $f_2$  en revanche ne donne pas satisfaction si le point de départ est le point  $\begin{pmatrix} 0 \\ \frac{1}{200} + \frac{1}{10^{12}} \end{pmatrix}$ .

Graphiquement, nous pouvons observer ce qui se passe avec les tangentes, Figure 2.1. Celles aux points A (point de départ) et E presque confondues, on peut se dire que l'on va osciller de part et d'autre du minimum sans tomber dessus, sauf si l'on réalise peut-être un très très grand nombre d'itérations. Analytiquement, on peut regarder la hessienne de  $f_2$  :

$$Hf_2((x_1, x_2)) = \begin{pmatrix} 1200 * x_1^2 - 400 * x_2 + 2 & -400 * x_1 \\ -400 * x_1 & 200 \end{pmatrix}.$$

Le terme  $1200 * x_1^2$  nous permet de dire que l'algorithme sera très sensible au point de départ pour la fonction  $f_2$  puisqu'il interviendra de manière forte dans sa convexité.

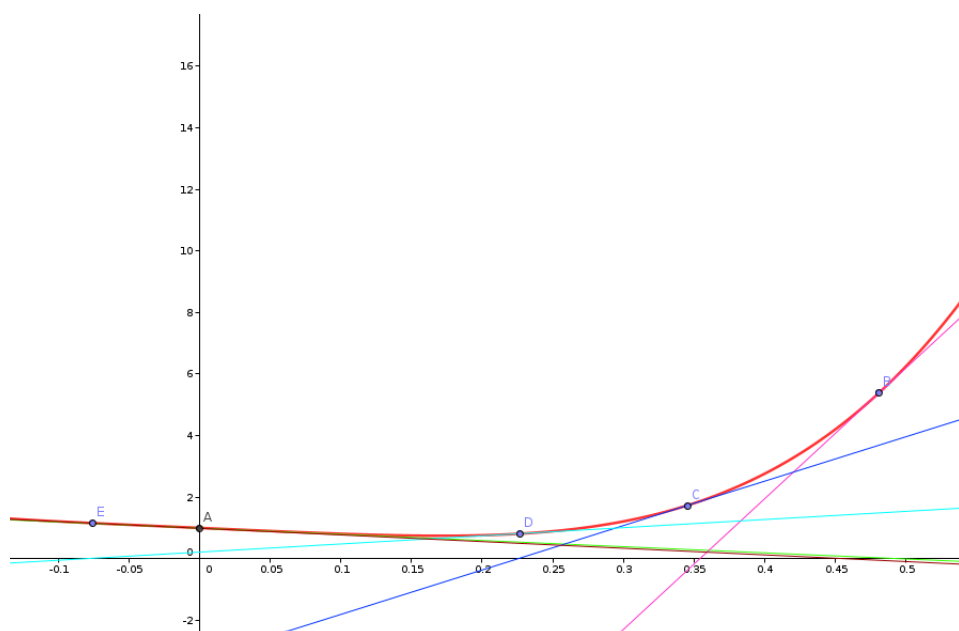


FIGURE 2.1 – Fonction  $f_2$ , avec la seconde variable fixée à  $\frac{1}{200} + \frac{1}{10^{12}}$ , sur laquelle on a appliqué 5 itérations de l'algorithme de Newton avec le point de départ A(0,1).



## Chapitre 3

# La méthode de régions de confiance : Newton devient robuste

L'introduction d'une région de confiance dans la méthode de Newton permet de garantir la convergence globale de celle-ci, i.e. la convergence vers un optimum local quelque soit le point de départ. On se situe toujours ici dans le cas de problèmes d'optimisation sans contrainte.

### 3.1 Cauchy : chercher le minimum de $f$ dans la direction opposée au gradient

L'idée est de chercher, à chaque itération, à minimiser  $f$  dans la direction opposée au gradient, à la manière de l'algorithme de la Steepest Descent. Cependant, on impose au point trouvé de rester dans un disque de rayon  $\Delta_k$  centré sur le point de départ  $x_k$  de la  $k^{ième}$  itération.

Le développement de Taylor de la fonction  $f$  à l'ordre 2 s'écrit ici :

$$m_k(x_k + s) = f(x_k + s) = f(x_k) + g_k^T s + \frac{1}{2} s^T H_k s$$

avec  $g_k = \nabla f(x_k)$  et  $H_k = \nabla^2 f(x_k)$ .

Etant donné  $x_k$ , on cherche à résoudre le problème suivant :

$$\left\{ \begin{array}{ll} \min & m_k(x_k + s) \\ \text{s.t.} & s = -tg_k \\ & t > 0 \\ & ||s|| \leq \Delta_k \end{array} \right.$$

Pour tout  $k \in \mathbb{N}$ , on pose  $\rho_k = \frac{f(x_k) - f(x_k + s_k)}{m_k(x_k) - m_k(x_k + s_k)}$ .

Le principe est de chercher le minimum atteint par la fonction, dans le disque de rayon  $\Delta_k$ , dans la direction opposée du gradient. Une fois le point  $s$  où  $f$  atteint son minimum dans cette direction trouvé, on regarde la décroissance de  $f$  entre  $x_k$  et  $x_k + s$ . Puis, suivant la valeur de cette décroissance par rapport à la décroissance de notre modèle entre ces deux mêmes points ( $\rho_k$ ), on modifie ou non le rayon de la région de confiance, on modifie ou non  $x_k$ , suivant les règles suivantes :

$$x_{k+1} = \left\{ \begin{array}{ll} x_k + s & \text{si } \rho_k \geq \eta_1 \\ x_k & \text{sinon} \end{array} \right.$$

et

$$\Delta_{k+1} = \left\{ \begin{array}{ll} \min\{\gamma_2 \Delta_k, \Delta_{max}\} & \text{si } \rho_k \geq \eta_2 \\ \Delta_k & \text{si } \rho_k \in [\eta_1, \eta_2[ \\ \gamma_1 \Delta_k & \text{sinon} \end{array} \right.$$

**Interprétation graphique :** Il est possible de visualiser graphiquement ce qui se passe lorsque l'on cherche le point de Cauchy. On note  $t_{SD} = \frac{\|g_k\|^2}{g_k^T H_k g_k}$  le point donné par l'algorithme de la Steepest Descent minimisant la fonction, et  $limit = \frac{\Delta_k}{\|g_k\|}$  qui sort directement de la contrainte  $\|tg_k\| \leq \Delta_k$  avec  $t > 0$ .

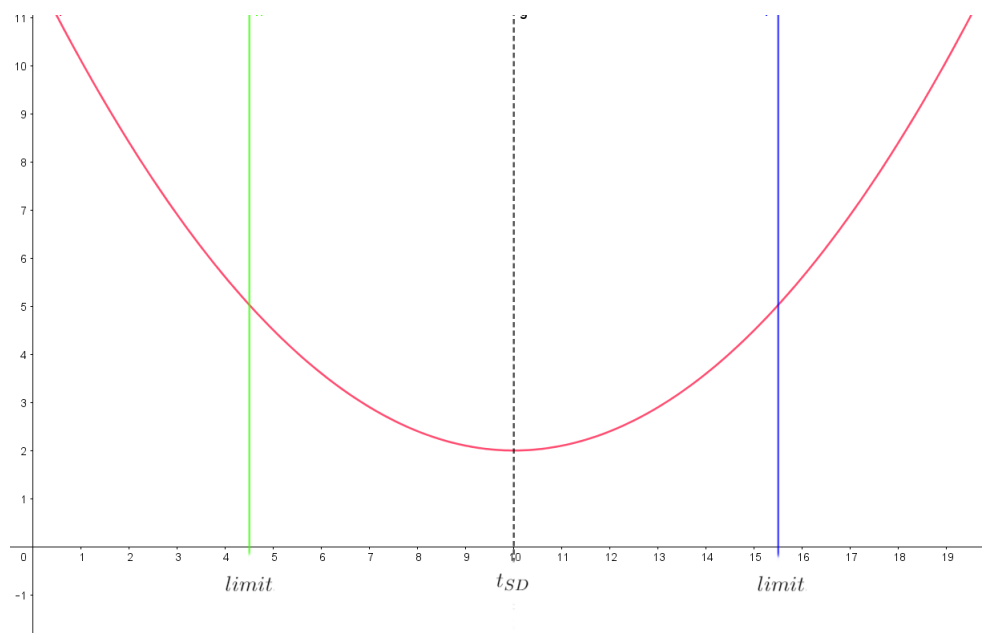


FIGURE 3.1 – Cas où la courbure de la fonction est positive. Si  $t_{SD} < limit$  (cas **bleu**) alors le minimum est  $t_{SD}$ , sinon  $t_{SD}$  est hors des limites et dans ce cas le minimum est *limit* (cas **vert**) .

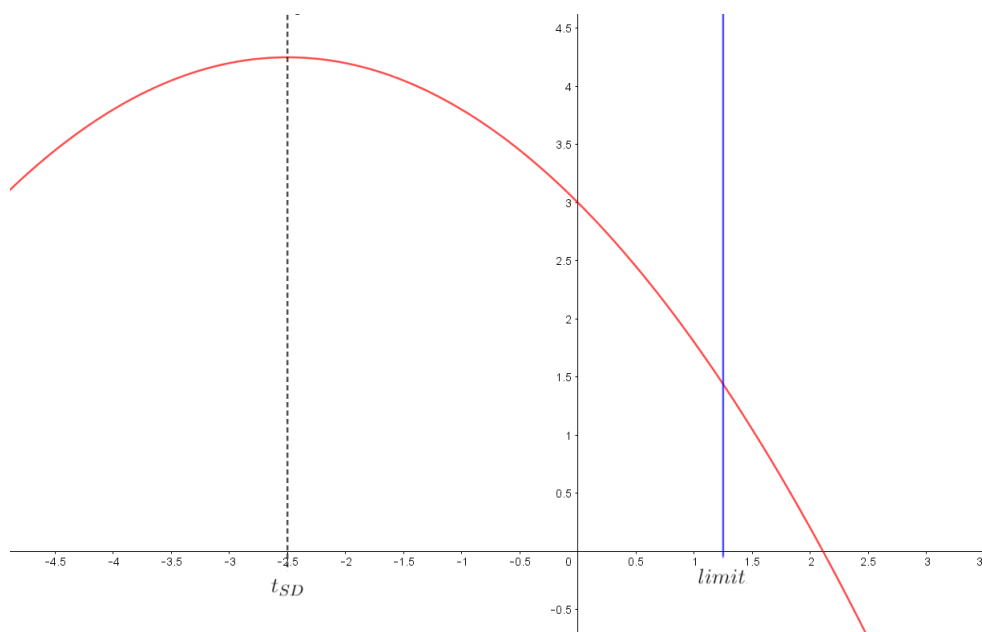


FIGURE 3.2 – Cas où la courbure est négative. Dans ce cas  $t_{SD}$  est également négatif et ne peut être retenu, le minimum est *limit*.

### 3.1.1 Tests de l'algorithme trouvant le point de Cauchy

On note respectivement  $q_1$ ,  $q_2$  et  $q_3$  les quadratiques 1, 2 et 3 de l'annexe B du document du projet.

Voici la suite des tests réalisés accompagnés chacun d'un commentaire (le premier argument de la fonction Cauchy est le rayon de la région de confiance) :

- $\text{Cauchy}(1, q_1)$  renvoie NaN, ce qui est normal puisque le gradient associé est  $0_{\mathbb{R}^2}$ . On voit ici apparaître la nécessité de prendre ce cas en compte dans l'algorithme des régions de confiance.
- $\text{Cauchy}(1, q_2) \Rightarrow$  la courbure est positive, et  $t_{SD} = 0,0243 < 0,1581 = \text{limit}$ . L'algorithme renvoie  $t = 0,0243 = t_{SD}$ , ce qui est conforme à ce que l'on attend.
- $\text{Cauchy}(10^{-2}, q_2) \Rightarrow$  la courbure est positive, et  $t_{SD} = 0,0243 > 0,0016 = \text{limit}$ . L'algorithme renvoie  $t = 0,0016 = \text{limit}$ , ce qui est conforme à ce que l'on attend.
- $\text{Cauchy}(1, q_3) \Rightarrow$  la courbure est positive, et  $t_{SD} = 1,1120 > 0,4472 = \text{limit}$ . L'algorithme renvoie  $t = 0,4472 = \text{limit}$ , ce qui est conforme à ce que l'on attend.
- $\text{Cauchy}(10, q_3) \Rightarrow$  la courbure est positive, et  $t_{SD} = 1,1120 < 4,4721 = \text{limit}$ . L'algorithme renvoie  $t = 1,1120 = t_{SD}$ , ce qui est conforme à ce que l'on attend.

### 3.1.2 Newton et la méthode des régions de confiance

Il s'agit désormais d'inclure dans l'algorithme de Newton la méthode des régions de confiance, qui permet de rendre la convergence de l'algorithme de Newton indépendante du point de départ. Cet algorithme découle de ce qui a été dit plus haut concernant la point de Cauchy et son utilisation de posteriori : à chaque itération de l'algorithme de Newton, on calcule le pas de Cauchy, puis on met à jour le rayon de la région de confiance ainsi que le point  $x_k$  où s'effectuera la prochaine itération.

Tests : Cette fois, tous les tests donnent satisfaction, on trouve bien l'élément unité des espaces dans lesquels on travaille comme point minimisant la fonction  $f$ .

## 3.2 More-Sorensen : une convergence plus rapide d'avec Cauchy

La méthode du pas de Cauchy s'apparente donc assez à celle de la steepest descent, n'offre donc pas non plus une convergence très rapide. Pour pallier à ceci, nous étudions l'algorithme de More-Sorensen.

### 3.2.1 Newton pour les équations non linéaires

Un travail préliminaire à effectuer pour pouvoir implémenter l'algorithme de More-Sorensen est d'implémenter celui de Newton permettant de résoudre les équations de la forme  $\phi(x) = 0$  où  $\phi$  est une fonction non linéaire de la variable  $x \in \mathbf{R}$ . Si l'itération de Newton (issue du développement limité de la fonction  $\phi$  au point où elle atteint son minimum) n'est pas acceptée, on réalise une dichotomie pour lMin et lMax pour assurer la convergence de l'algorithme. Dans cet algorithme, nous verrons apparaître des critères d'arrêt que nous expliquons ici :

- $\min(|\phi(lMin)|, |\phi(lMax)|) < \epsilon$  : si l'un des deux bornes est près du réel minimisant  $f$  à la précision  $\epsilon$  alors on s'arrête
- $|\phi(\lambda)| < \epsilon$  : si  $\lambda$  lui-même (dont on dispose sans avoir besoin de le calculer à ce moment là) est suffisamment proche du réel minimisant  $f$ , on s'arrête.

**Remarque :** On peut se poser la question ici de savoir comment rechercher les valeurs lMin et lMax si elles ne sont pas fournies, ce qui sera le cas lorsque l'on implémentera More-Sorensen. Pour résoudre ce problème, on se place donc dans le cas pratique qui nous intéresse, et où la fonction  $\phi$  est donc décroissante sur l'intervalle où l'on recherche une solution à l'équation. On note  $\lambda_1$  la plus grande valeur propre de la hessienne de la fonction  $f$  à minimiser. Alors, on cherchera systématiquement un zéro avec la méthode de Newton qui soit sur la demi-droite  $[\max(0, -\lambda_1), +\infty[$ . On prendra ainsi  $lMin = \max(0, -\lambda_1)$  (et alors  $\phi(lMin) > 0$  et on cherchera lMax en incrémentant lMin d'une valeur  $a$  (choisie à .. dans mon cas) jusqu'à ce que l'on ait  $\phi(lMax) < 0$ .

L'algorithme de recherche du zéro est le suivant :

---

**Algorithm 2** Newton non linéaire

---

**Data:** lMin , lMax ,  $\phi$  ,  $\partial\phi$

**Result:** lambda = zero de la fonction  $\phi$  à la précision epsilon

```
6  epsilon = 10-4

7  if lMin ou lMax est déjà le minimul à la précision epsilon then
8      |   lambda = (lMin,lMax)
9  else
10     |   lambda = lMax
11 end
12 while non convergence do
13     Calculer l'itéré de Newton lN
14     |   if lMin ≤ lN ≤ lMax et ||φ(lN)|| < 0.5 * ||φ(lambda)|| then
15         |   lambda = lN
16     else
17         |   procéder par dichotomie entre lMin et lMax pour trouver lambda
18 end
```

---

Concernant les tests, tous ceux demandés ont été réalisés et donnent des résultats identiques à ceux de l'enseignant de TP, ce qui donne confiance en l'impémentation réalisée.

### 3.2.2 Algorithme de More-Sorensen

L'algorithme de More-Sorensen se base sur le résultat suivant :

Si  $s^*$  est une solution du problème de minimisation  $\min_{\|s\| \leq \Delta} m(x+s)$  avec  $m :$

$$\begin{array}{ll} E & \rightarrow \mathbb{R} \\ z & \mapsto g^T z + \frac{1}{2} z^T H z \end{array}$$

$$\text{alors il existe } \lambda^* \text{ vérifiant : } \left\{ \begin{array}{lcl} (H + \lambda^* I)s^* & = & -g \quad (1) \\ \lambda^*(\|s^*\| - \Delta) & = & 0 \quad (2) \\ H + \lambda^* I & \geq & 0 \quad (3) \\ \lambda^* & \geq & 0 \quad (4) \\ \|s^*\| & \leq & \Delta \quad (5) \end{array} \right.$$

Alors, connaissant  $\lambda^*$  on peut, via la relation (1), retrouver  $s^*$  grâce à la commande matlab  $s = (H + \lambda^* I) \backslash -g$  et ainsi intégrer cet algorithme à celui de Newton avec régions de confiance pour trouver  $s$  (au lieu d'utiliser le pas de Cauchy).

### Interprétation :

- Comparaison avec la décroissance obtenue par le pas de Cauchy :
  
- Avantages et inconvénients des deux approches :

	<i>Pas de Cauchy</i>	<i>Pas de More – Sorensen</i>
<i>Avantages</i>	· Simple à mettre en oeuvre	· Convergence rapide <sup>(*)</sup>
<i>Inconvénients</i>	· Convergence lente · Très dépendent du modèle $m$ ⇒ erreur d'approximation a priori non contrôlée	· Compliqué à mettre en oeuvre Nécessite la résoluon d'une équation matricielle

<sup>(\*)</sup> : par convergence rapide, on entend en un nombre faible d'itérations (comparé à la méthode du pas de Cauchy).

## Chapitre 4

# Optimisation sous contraintes : la méthode du Lagrangien augmenté

L'objectif est ici de résoudre des problèmes avec contraintes, d'égalité seulement dans un premier temps. La méthode du Lagrangien augmenté est une méthode de pénalisation, où l'on se ramène à chaque itération à la résolution de problèmes sans contrainte grâce à l'introduction justement du Lagrangien de la fonction  $f$  à minimiser. Nous nous intéressons donc aux problèmes de la forme :

$$\left\{ \begin{array}{ll} \min & f(x) \\ \text{s.t.} & x \in \mathbb{R}^n \\ & c(x) = 0, \quad c : \mathbb{R}^n \mapsto \mathbb{R}^m \end{array} \right.$$

On donne ici le pseudo-code de l'algorithme du Lagrangien augmenté afin de commenter l'aspect pénalisation. On remarquera que comme annoncé plus haut, les critères d'arrêt (ou de convergence) associés sont les mêmes que ceux utilisés pour l'algorithme de Newton mais associés au Lagrangien de  $f$  défini par :

$$L_A : \begin{array}{ll} \mathbb{R}^n \times \mathbb{R} \times \mathbb{R} & \rightarrow \mathbb{R} \\ (x, \lambda, \mu) & \mapsto f(x) + \lambda^T c(x) + \frac{\mu}{2} \|c(x)\|^2 \end{array}$$



L'algorithme est le suivant :

---

**Algorithm 3** Algorithme du Lagrangien augmenté

---

**Data:**  $\mu_0$  ,  $\tau$  ,  $\alpha$  ,  $\beta$  ,  $\eta_0^c$  ,  $\epsilon_0$  ,  $\eta_0$  et le point de départ  $(x_0, \lambda_0)$

---

**Result:** une approximation de la solution du problème avec contraintes d'égalité

```

19 while non convergence do
20   Calculer, à la précision  $\nabla L_A(\cdot, \lambda_k, \mu_k) \leq \epsilon_k$ , une solution du problème sans contrainte
      
$$\min_{x \in \mathbb{R}^n} L_A(x, \lambda_k, \mu_k)$$

21   if  $\|c(x_{k+1})\| \leq \eta_k$  then
22     mettre à jour le multiplicateur  $\lambda_{k+1} = \lambda_k + \mu_k c(x_{k+1})$  (et autres constantes)
23   else
24     mettre à jour la pénalité  $\mu_{k+1} = \tau \mu_k$ 
25   end
26 end

```

---

On voit ainsi comment les contraintes sont prises en compte : comme  $\tau > 0$ , si l'on a pas  $\|c(x_{k+1})\| \leq \eta_k$ , on augmente  $\mu_k$  de sorte à ce qu'à l'itération suivante, les contraintes aient plus de poids dans la fonction à minimiser et soient donc plus prises en compte. Sinon, on se dit que le vecteur trouvé vérifie suffisamment bien les contraintes d'égalité et donc on continue à construire la suite  $\lambda_k$  convergeant vers le multiplicateur de Lagrange  $\lambda^*$  associé au problème.